

多智能体协同SLAM的后端 图优化关键问题研究

王永才

中国人民大学 信息学院 计算机系

ycw@ruc.edu.cn

个人简介



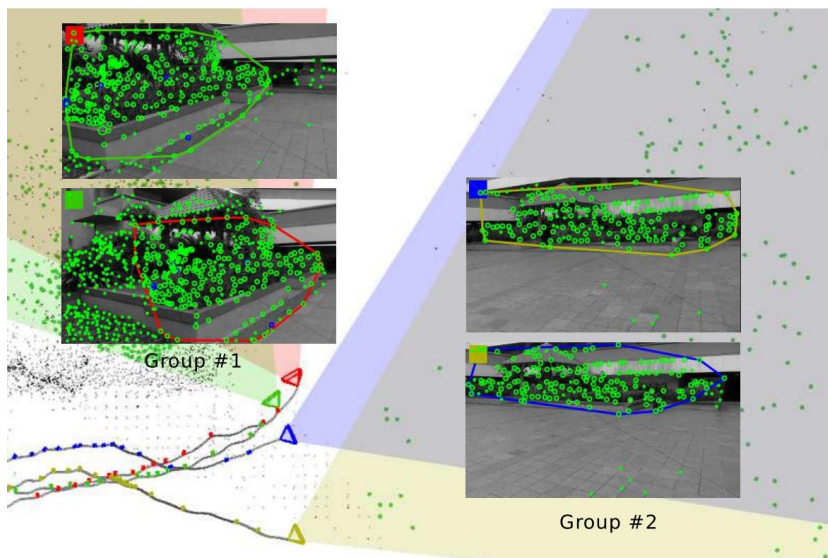
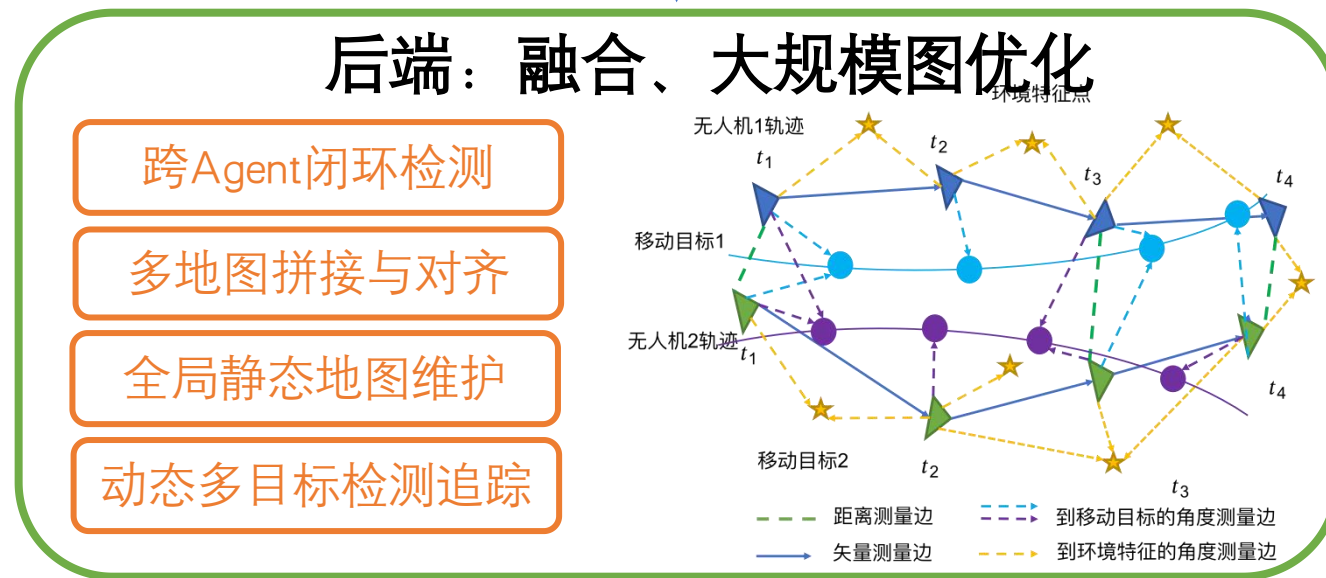
1997.08–2001.07	清华大学自动化系，本科
2001.09–2006.12	清华大学自动化系，博士生
2007.01–2009.08	NEC中国研究院，副研究员
2009.08–2015.08	清华大学交叉信息研究院，助理研究员
2015.08–2022.06	中国人民大学信息学院，副教授
2014.01–2014.08	美国康奈尔大学，访问学者

主要研究领域为**多智能体协同感知、图优化、视觉空间计算、SLAM系统**等，在国内外知名期刊和会议**发表论文100余篇**，已授权专利10余项。研究成果被应用于**智能车、智能船领域**。主持多项国家自然科学基金面上项目，国家科技支撑计划子课题，2021年获得交通运输部航海学会**技术发明奖一等奖**，2022年获得交通运输部航海学会**科技进步二等奖**。Email: ycw@ruc.edu.cn

多智能体协同感知



通信



多智能体协同同步定位、建图结果

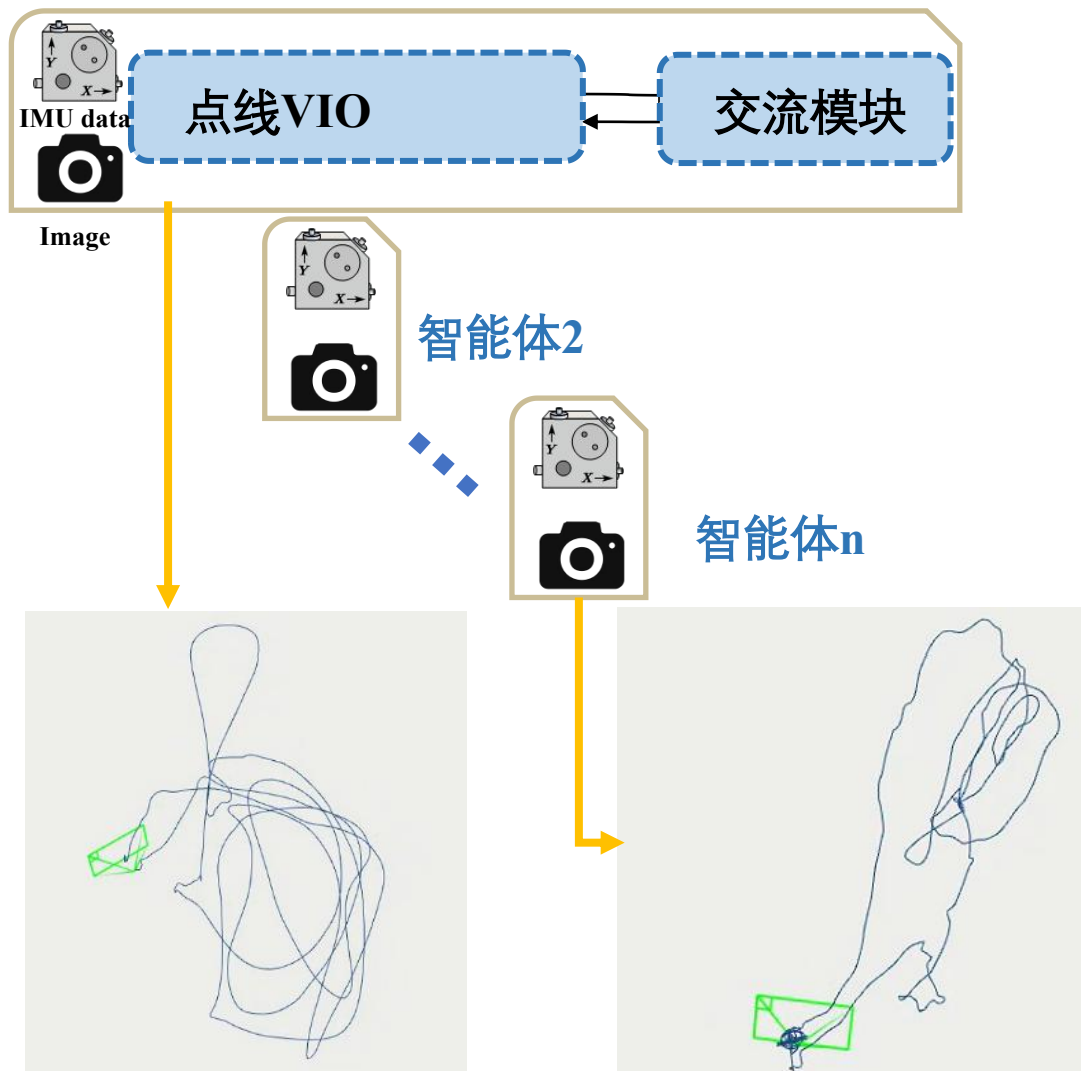
CoSLAM: A Versatile Collaborative SLAM System for Mobile Phones Using Point-Line Features and Map Caching

CoSLAM: 基于点线特征和缓存地图的手机协同SLAM

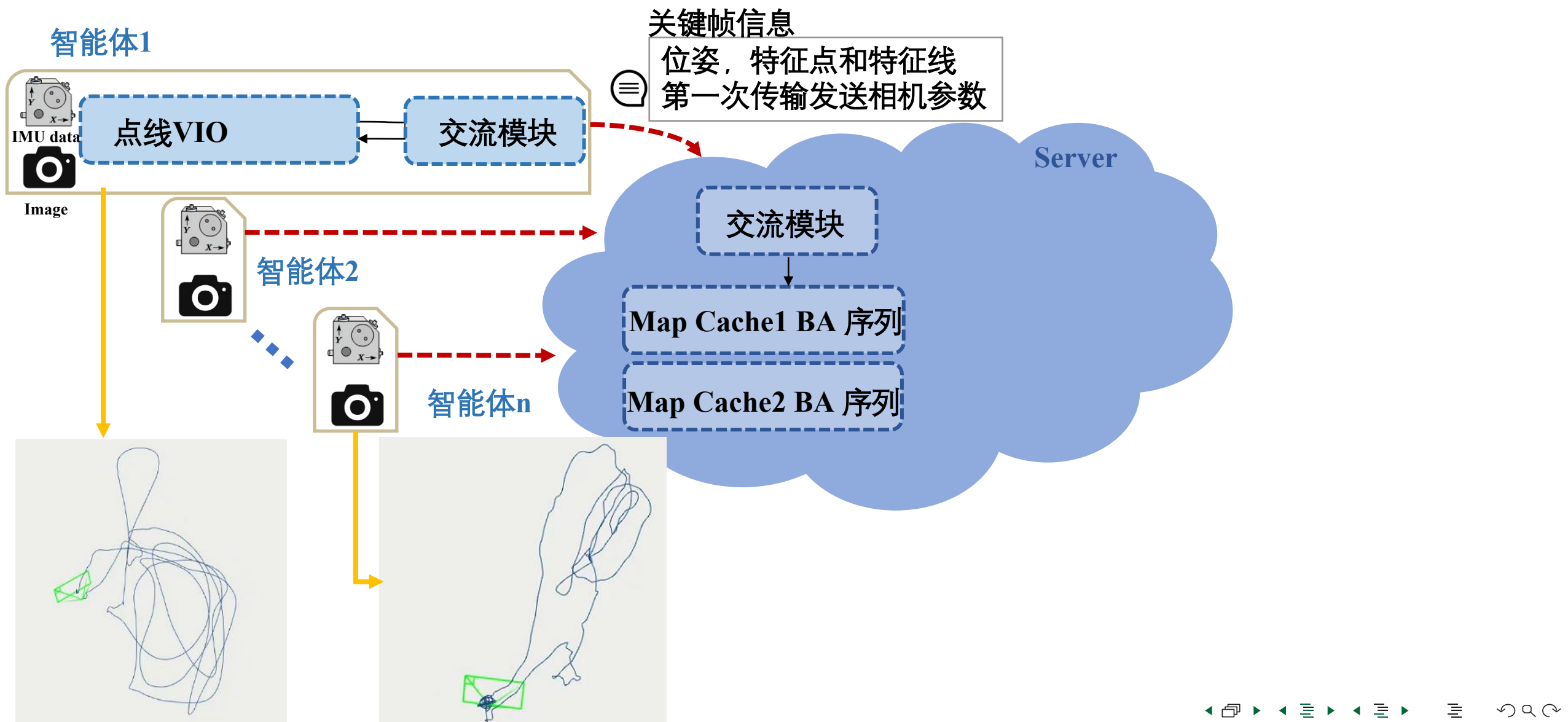
发表于 ACM MM2023, CCF A
李婉婷、王永才等
中国人民大学信息学院

CoSLAM中，首先每个智能体通过自身的点特征、线特征、惯导融合的视觉惯性里程计方法，计算自身位姿轨迹，建立局部环境地图。

智能体1



每个智能体将关键帧等信息发送到云端，云端为每个智能体建立缓存地图。

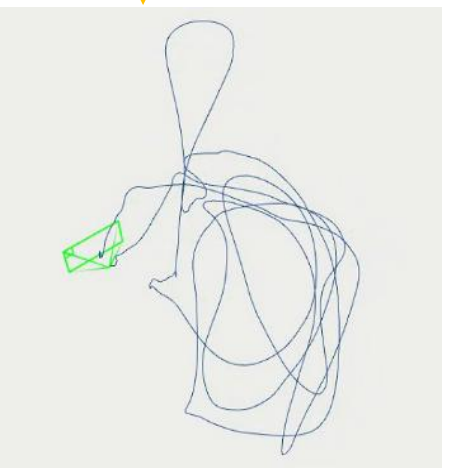
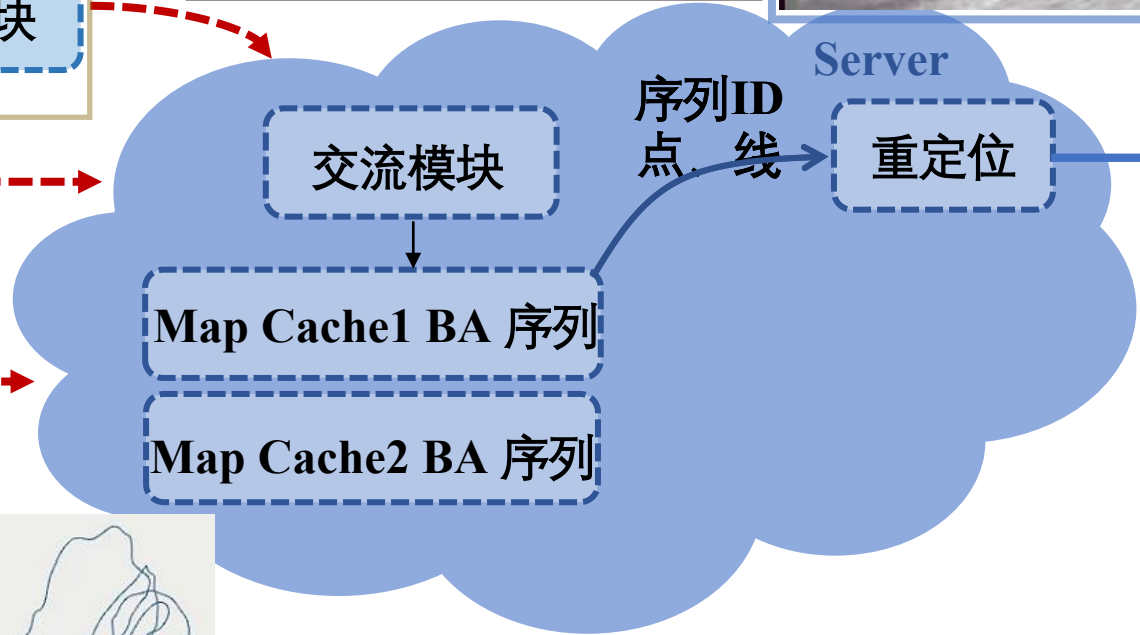
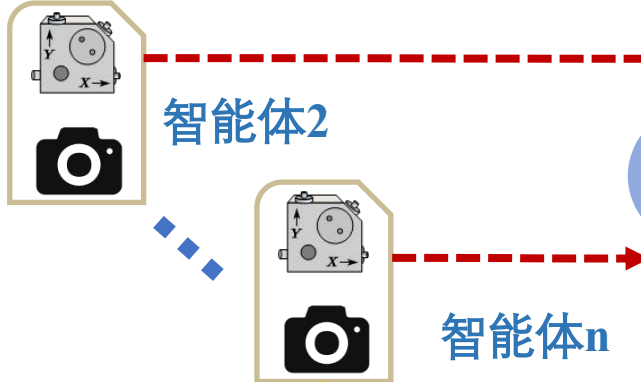
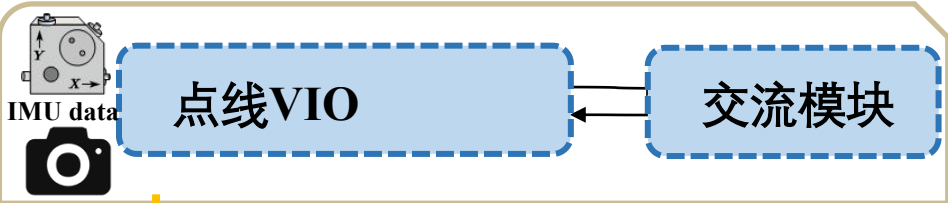
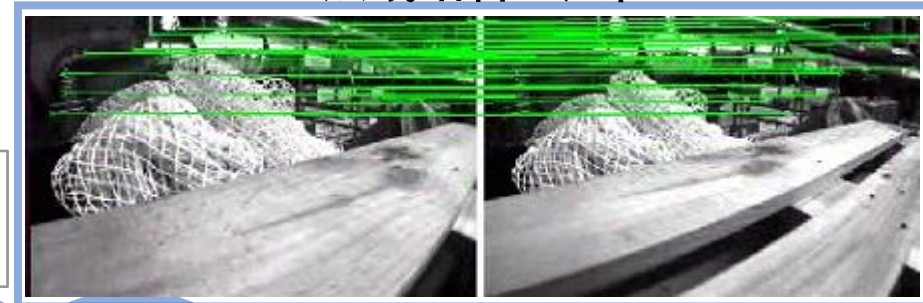


跨缓存地图的回环检测，构建多智能体位姿之间的回环边

点线结合重定位

智能体1

关键帧信息
位姿，特征点和特征线
第一次传输发送相机参数



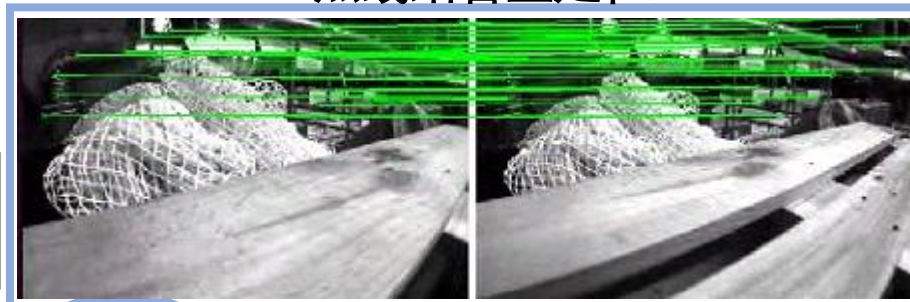
融合回环检测边、局部位姿图，优化全局位姿图

点线结合重定位

智能体1

关键帧信息

位姿，特征点和特征线
第一次传输发送相机参数



点线VIO

交流模块

交流模块

Server

重定位

智能体2

智能体n

Map Cache1 BA 序列

Map Cache2 BA 序列

地图融合
和优化

序列ID
点、线

相对位姿
匹配的点、线

相对位姿

优化全局
位姿图

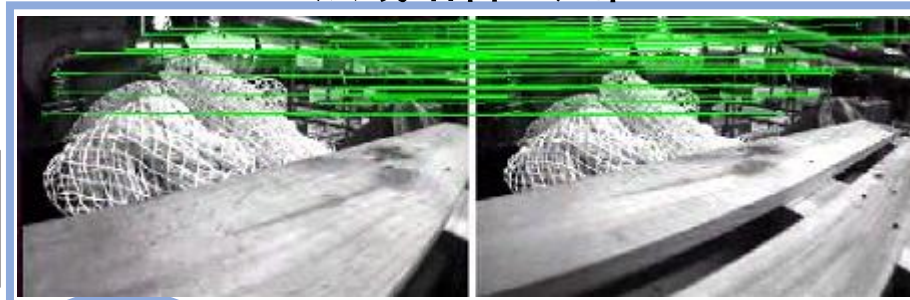
融合回环检测边、局部位姿图，优化全局位姿图

点线结合重定位

智能体1

关键帧信息

位姿，特征点和特征线
第一次传输发送相机参数



点线VIO

交流模块

交流模块

Server

重定位

智能体2

智能体n

Map Cache1 BA 序列

Map Cache2 BA 序列

地图融合
和优化

序列ID
点、线

相对位姿
匹配的点、线

相对位姿

反馈修正
局部位姿
误差

优化全局
位姿图

ColSLAM: A Versatile Collaborative SLAM System for Mobile Phones Using Point-Line Features and Map Caching

Demo Video

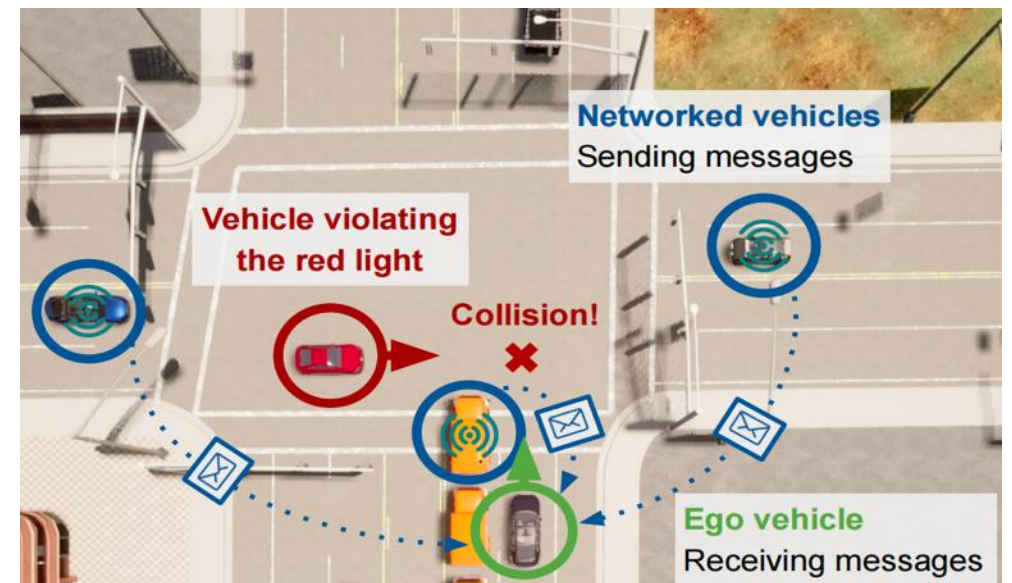
基于迭代目标匹配与图优化的鲁棒协同感知

RoCo: Robust Cooperative Perception By Iterative Object Matching and Pose Adjustment

ACM MM2024, CCF A
黄哲、王永才等
中国人民大学信息学院

多车协同感知

- ✓ See further
- ✓ See better (More evidence).
- ✓ See through occlusion



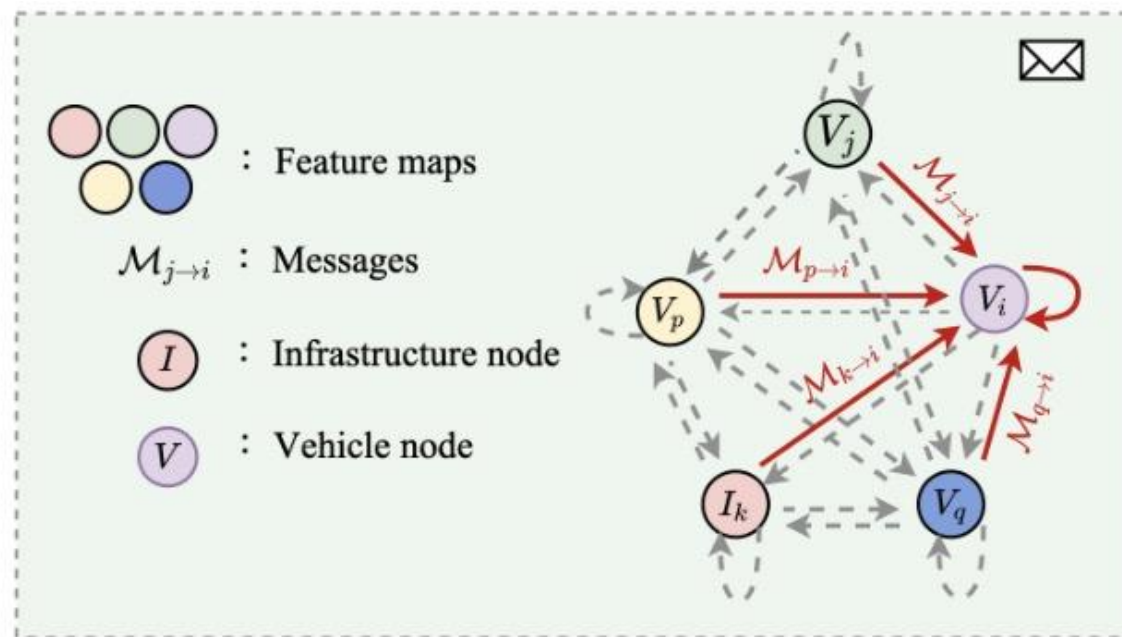
多车协同感知：特征级融合

- ✓ 早融合：传输原始数据
- ✓ 特征融合：传输压缩特征图
- ✓ 结果融合：传输检测结果

不足：传输成本过高

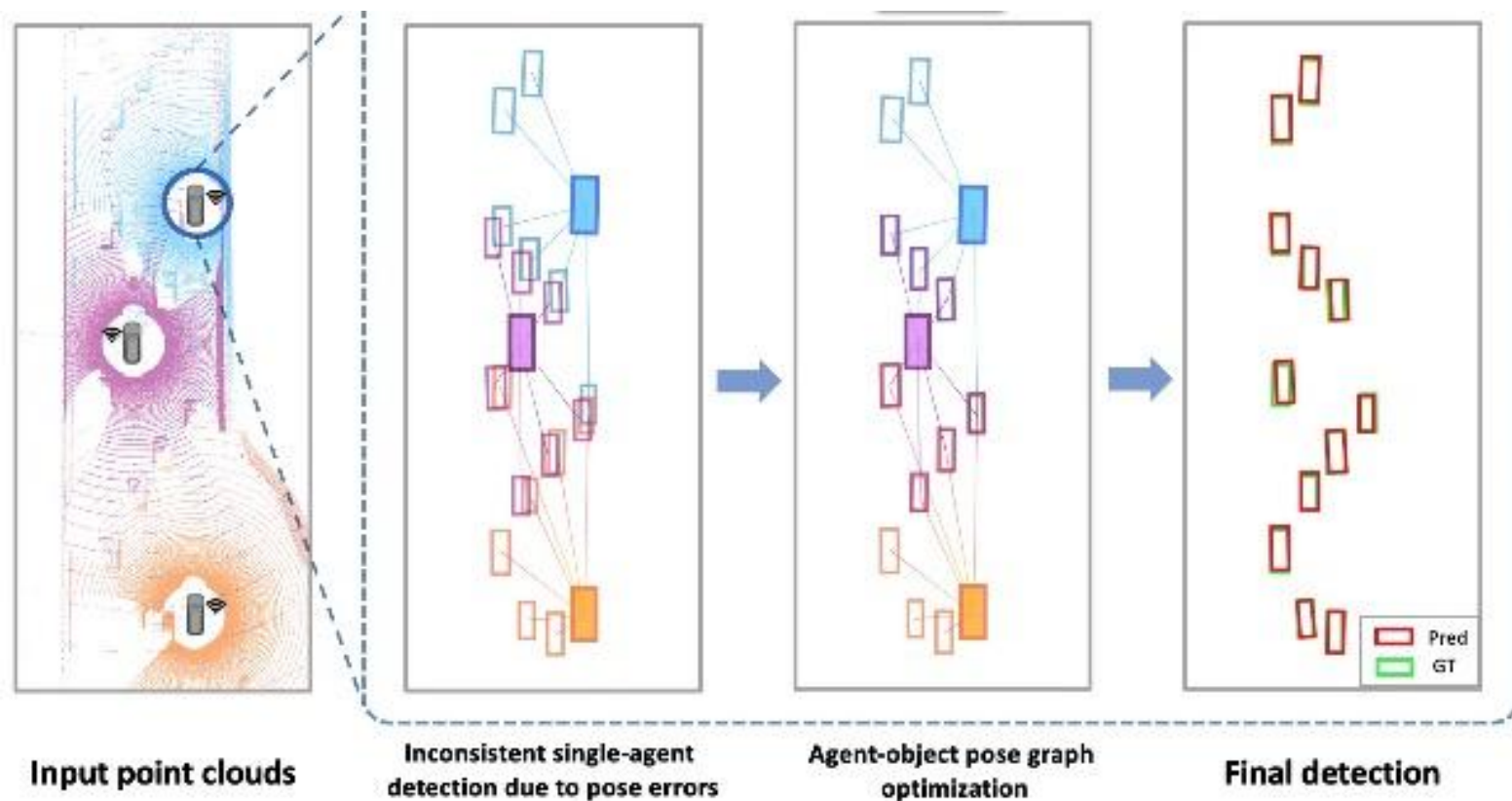
可控制传输成本、能发现新目标

不足：不能发现新目标



基于特征图的多车融合

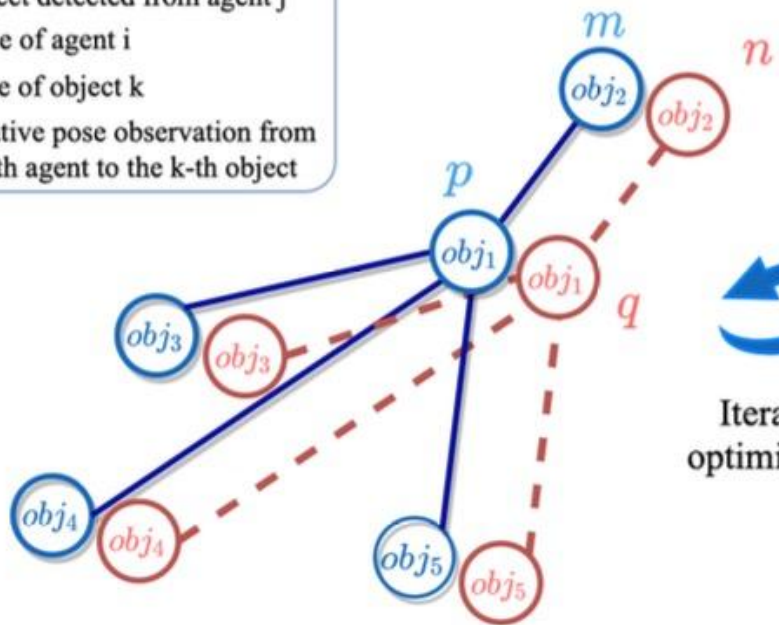
多车协同感知：车辆定位误差问题



需要解决各车的定位结果存在误差时的融合特征图错位问题

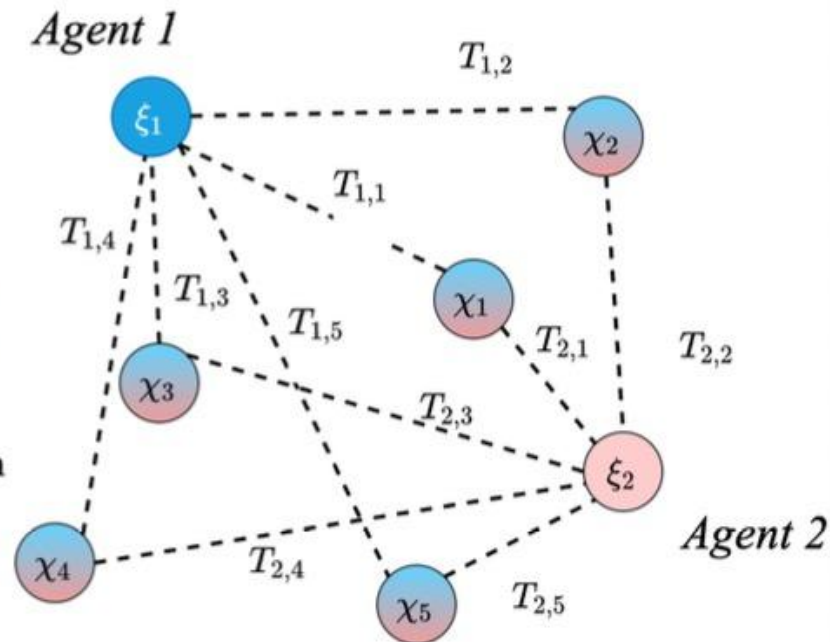
RoCo:基于迭代图优化的位姿校准与协同感知

m, p : object detected from agent i
 n, q : object detected from agent j
 ξ_i : pose of agent i
 χ_k : pose of object k
 T_{ik} : relative pose observation from the i-th agent to the k-th object



(a) Object Matching

Iterative optimization



(b) Robust Graph Optimization

根据目标匹配结果建立图优化问题，并根据图优化结果，改进目标匹配，迭代直至收敛

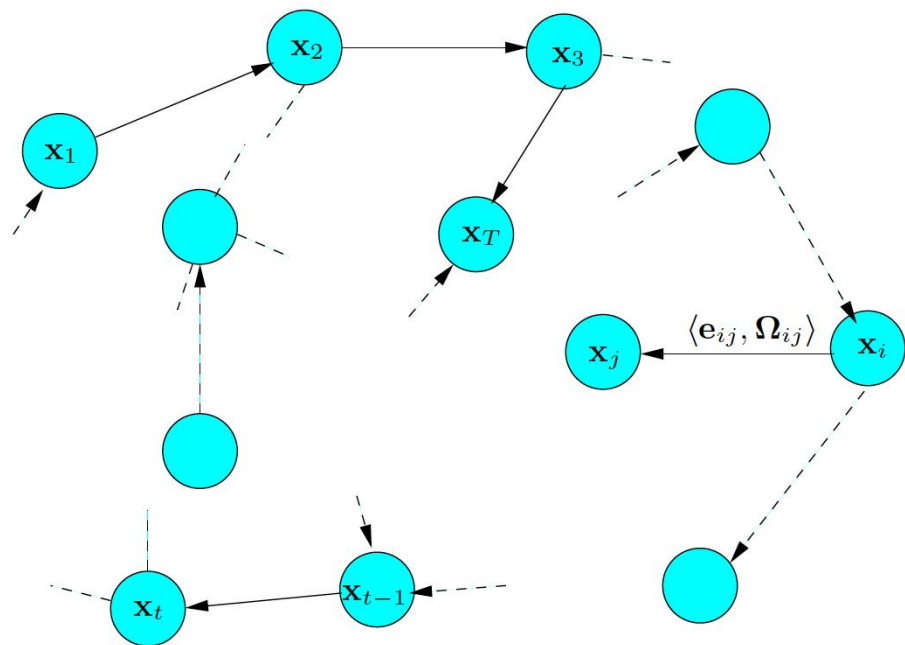
Dataset	DAIR-V2X					V2XSet				
Method/Metric	AP@0.5 \uparrow									
Noise Level σ_t/σ_r ($m/^\circ$)	0.0/0.0	0.2/0.2	0.4/0.4	0.6/0.6	0.8/0.8	0.0/0.0	0.2/0.2	0.4/0.4	0.6/0.6	0.8/0.8
F-Cooper[8]	73.4	72.3	70.5	69.2	67.1	78.3	76.3	71.2	65.9	62.0
FPV-RCNN[46]	65.5	63.1	58.0	58.1	57.5	86.5	85.3	68.7	62.1	49.5
V2VNet[35]	66.0	65.5	64.6	63.6	61.7	87.1	86.0	83.2	79.7	75.0
Self-Att[42]	70.5	70.3	69.5	68.5	67.8	87.6	86.8	85.4	83.7	82.1
V2X-ViT[40]	70.4	70.0	68.9	67.8	66.0	91.0	90.1	86.9	84.0	81.8
CoAlign[25]	74.6	73.8	72.0	70.0	69.2	91.9	90.9	88.1	85.5	82.7
CoBEVFlow[36]	73.8	73.2	70.3	-	-	-	-	-	-	-
Ours (RoCo)	76.3	74.8	73.3	71.9	71.5	91.9	91.0	90.0	85.9	84.1
Method/Metric	AP@0.7 \uparrow									
Noise Level σ_t/σ_r ($m/^\circ$)	0.0/0.0	0.2/0.2	0.4/0.4	0.6/0.6	0.8/0.8	0.0/0.0	0.2/0.2	0.4/0.4	0.6/0.6	0.8/0.8
F-Cooper[8]	55.9	55.2	54.2	53.8	51.6	48.6	46.0	43.4	41.0	39.5
FPV-RCNN[46]	50.5	45.9	42.0	41.0	38.9	56.3	51.2	37.4	31.8	27.0
V2VNet[35]	48.6	48.3	47.8	47.5	38.0	64.6	62.0	56.2	50.7	44.9
Self-Att[42]	52.2	52.0	51.7	51.4	51.1	67.6	66.2	65.1	63.9	63.0
V2X-ViT[40]	53.1	52.9	52.5	52.2	51.3	80.3	76.8	71.8	69.0	66.6
CoAlign[25]	60.4	58.8	57.9	57.0	56.9	80.5	77.3	73.0	70.1	67.3
CoBEVFlow[36]	59.9	57.9	56.0	-	-	-	-	-	-	-
Ours (RoCo)	62.0	59.4	58.4	58.2	57.8	80.5	77.4	77.3	71.0	68.9

检测准确性显著高于当前SOTA



*RoCo: Robust Collaborative Perception By Iterative Object
Matching and Pose Adjustment*

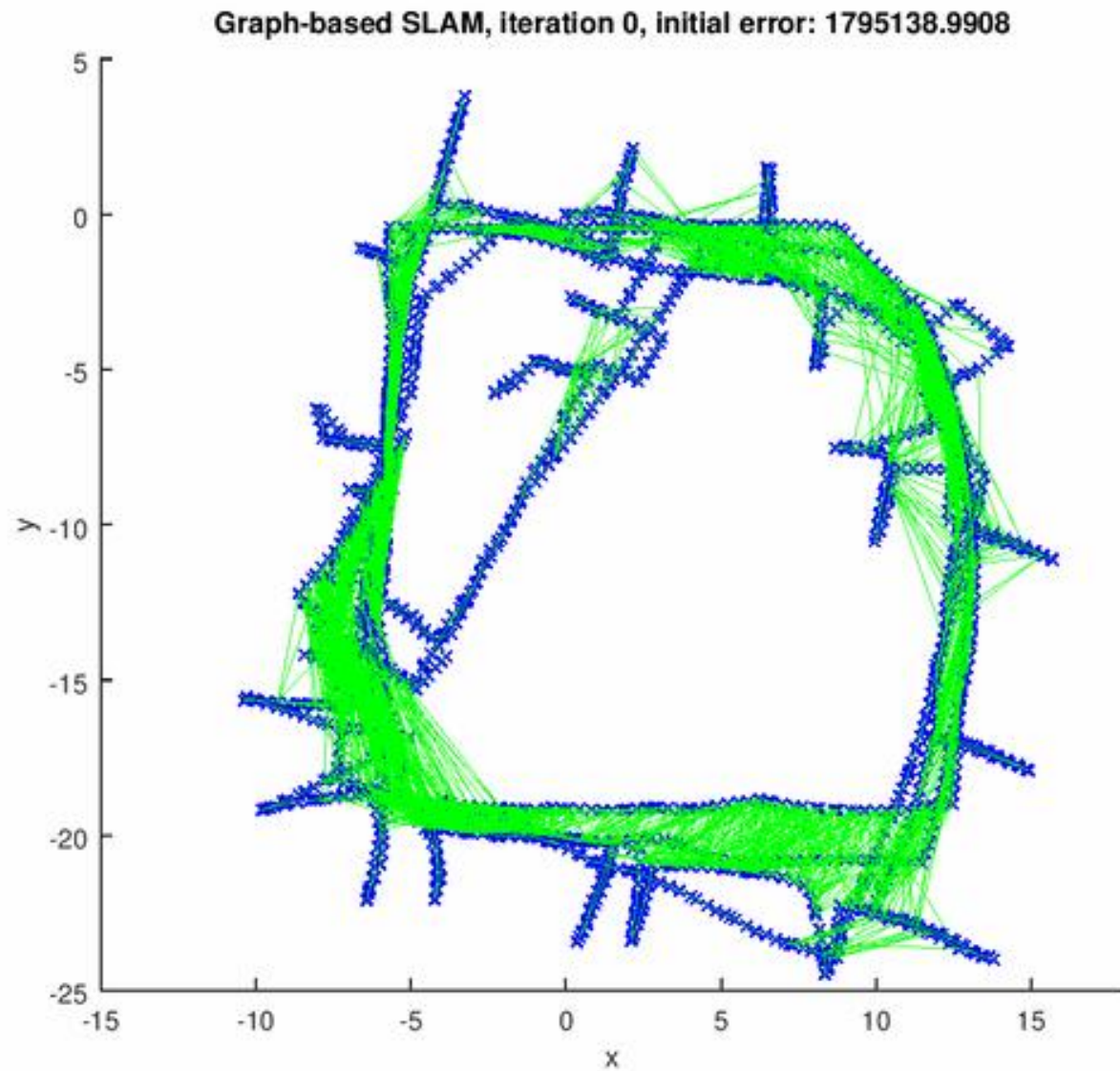
背后的图优化问题



$$\mathbf{e}_{ij}(\mathbf{x}_i, \mathbf{x}_j) = \mathbf{z}_{ij} - \hat{\mathbf{z}}_{ij}(\mathbf{x}_i, \mathbf{x}_j)$$

$$\mathbf{F}(\mathbf{x}) = \sum_{\langle i, j \rangle \in \mathcal{C}} \underbrace{\mathbf{e}_{ij}^T \mathbf{\Omega}_{ij} \mathbf{e}_{ij}}_{\mathbf{F}_{ij}}$$

$$\mathbf{x}^* = \underset{\mathbf{x}}{\operatorname{argmin}} \mathbf{F}(\mathbf{x})$$



现有通用图优化方法本身的问题

- G2O: 稀疏图计算不准确, 大规模图计算慢

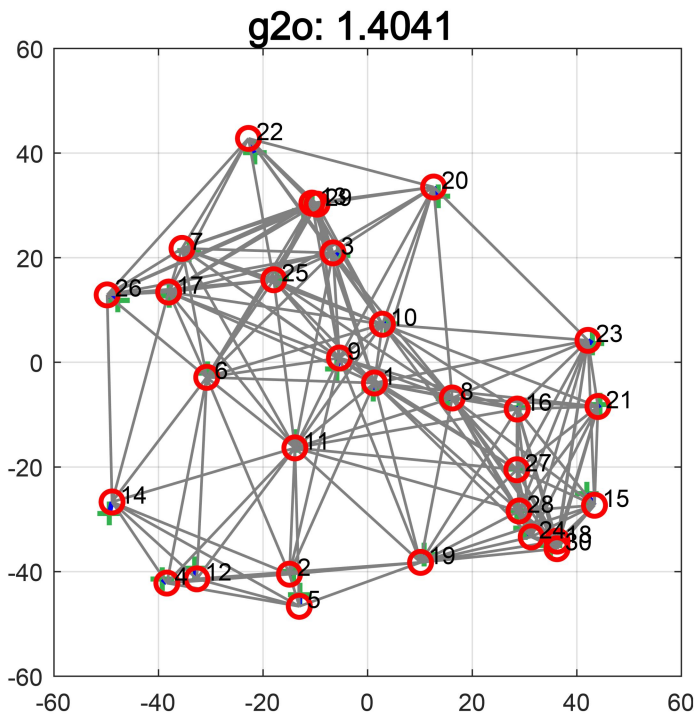


Figure. $n=30$,
 $noise = 5\%$, $AveDeg=12$,
Time = 1.72s.

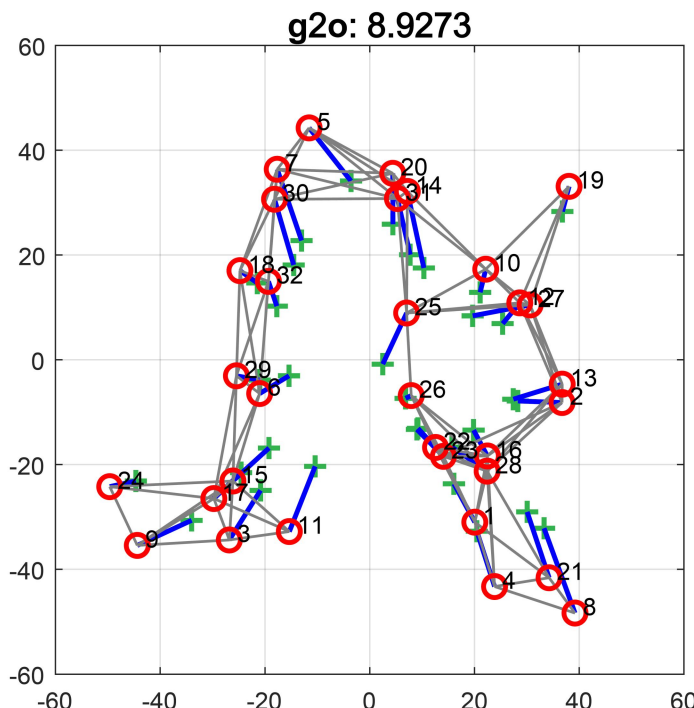


Figure. $n=30$,
 $noise = 15\%$, $AveDeg=6$,
Time = 0.94s.

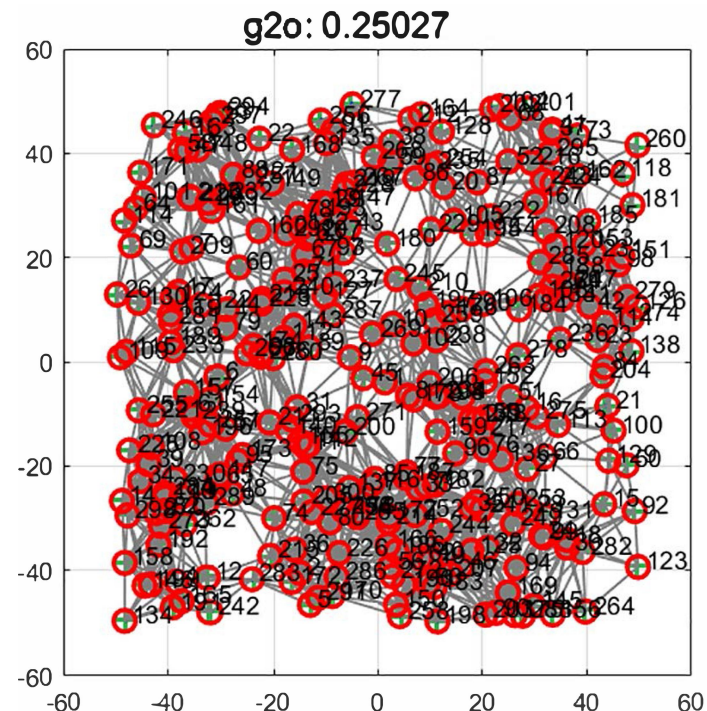
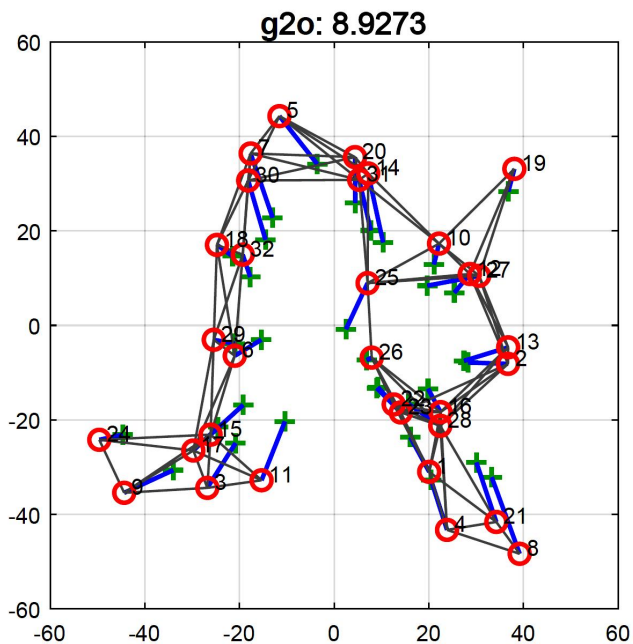


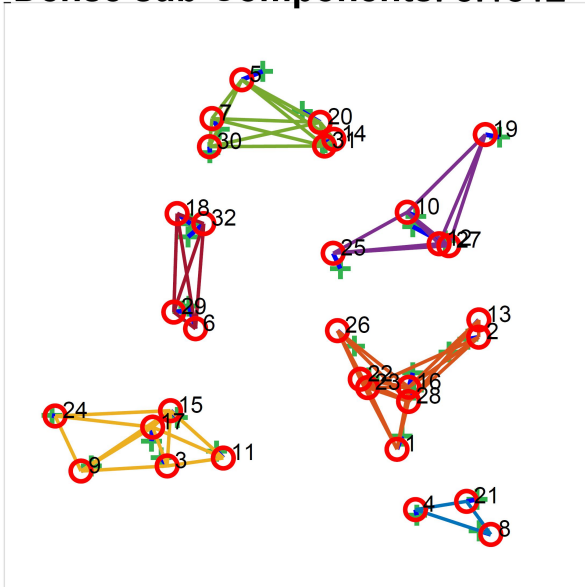
Figure. $n=300$,
 $noise = 5\%$, $AveDeg=12$,
Time = 23.32s.

如何优化呢? HGO: 并行可靠G2O



稀疏图G2O不准确

Dense sub-Components: 5.1812



稠密子图单独G2O准确

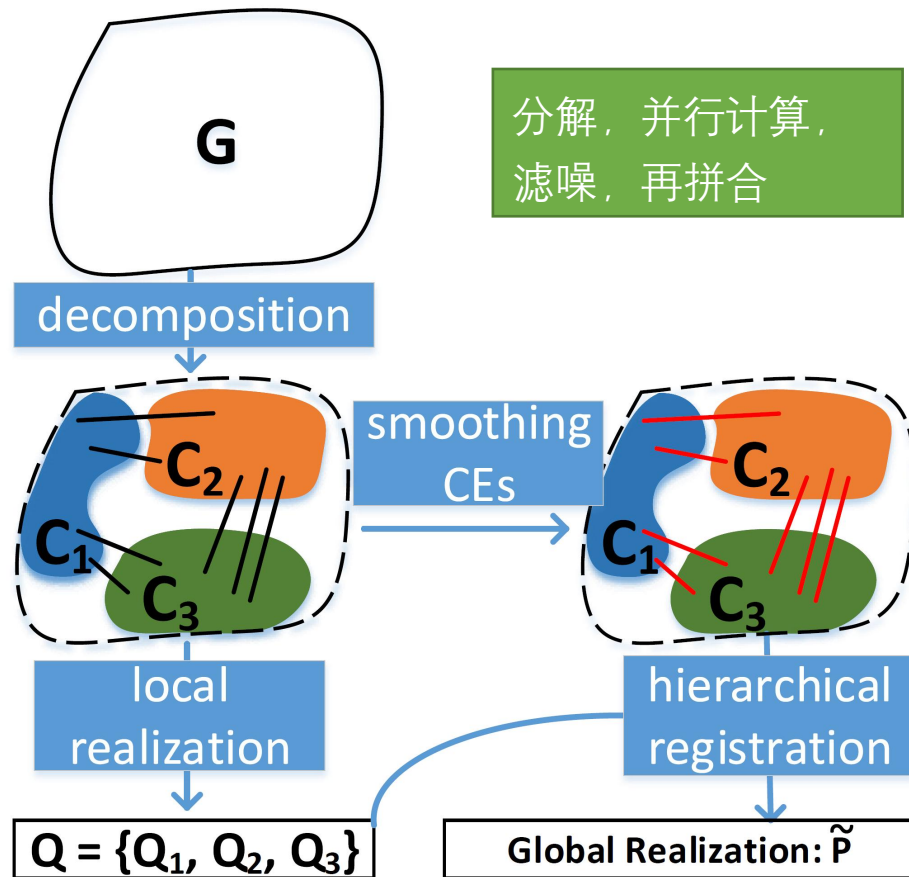
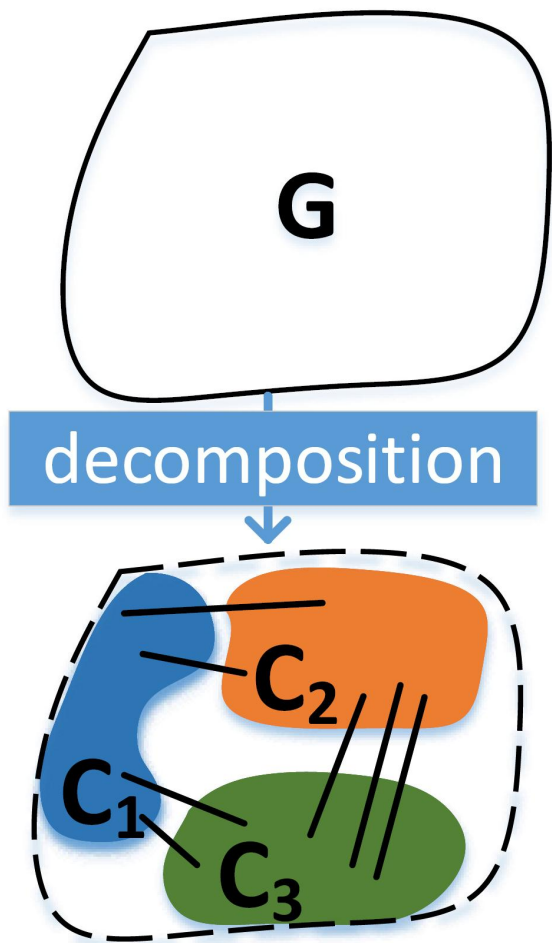


Figure. The overview of HGO.

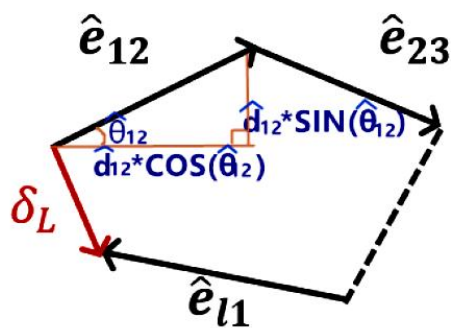
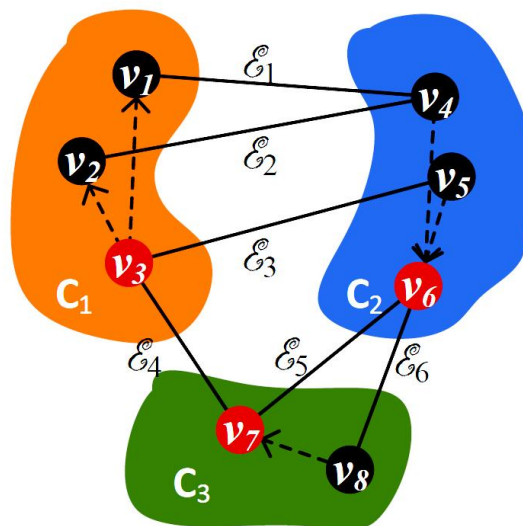
HGO: 并行可靠G2O

1. 稠密社团子图分解

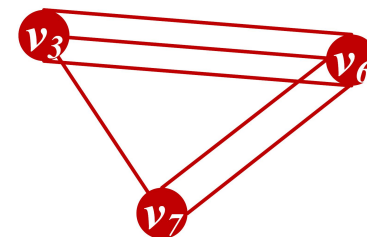


2. 子图内部计算G2O

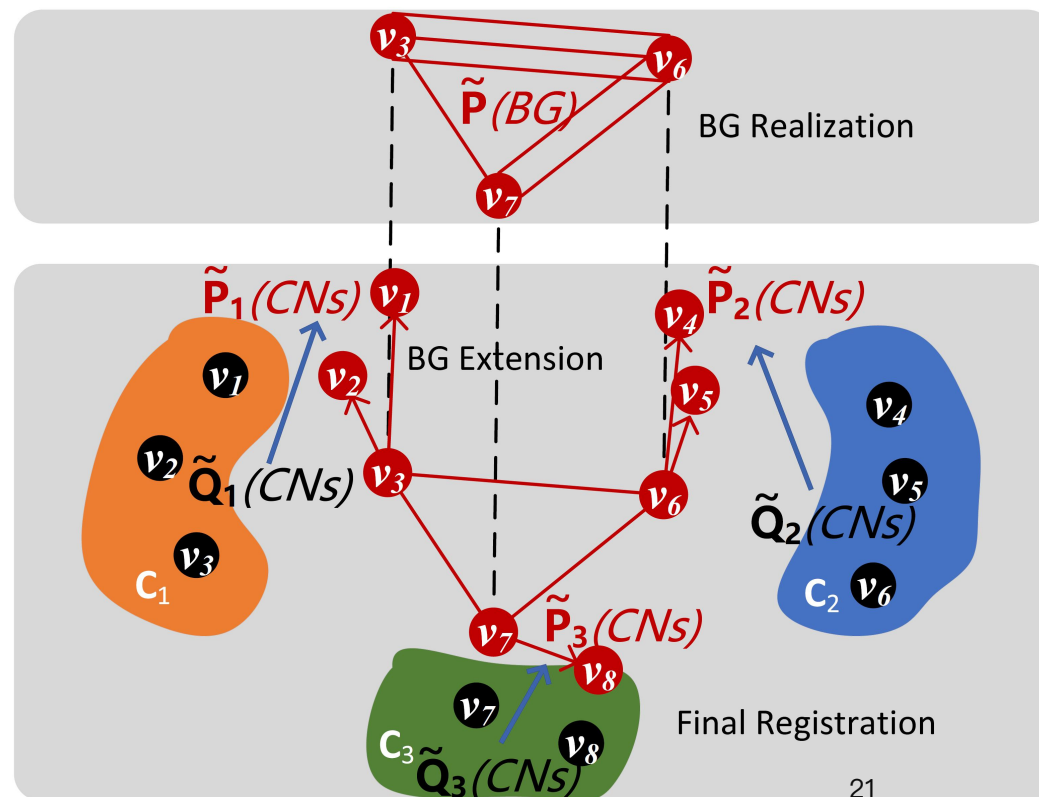
3. 模块间Critical Edge闭环约束平滑



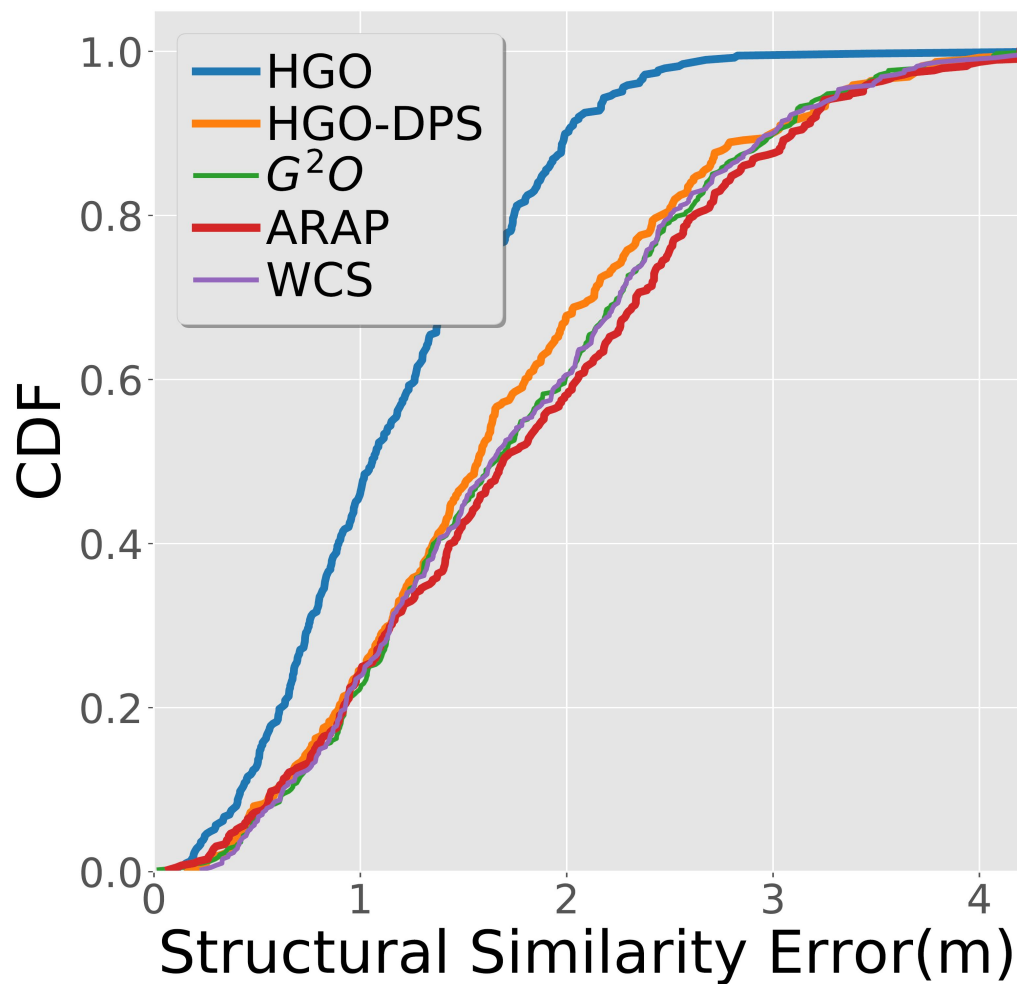
4. 生成并计算多边骨干图结构



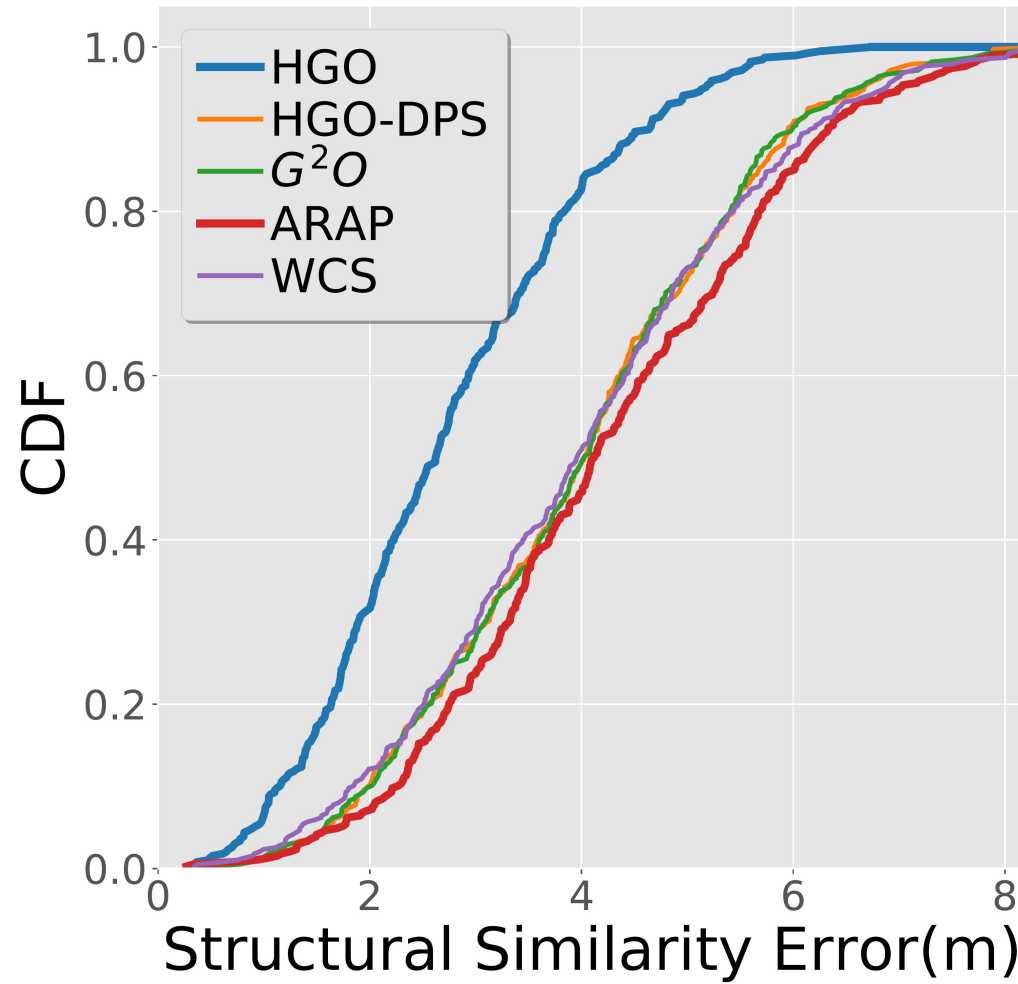
5. 子模块同骨干图拼接



HGO: 实验效果

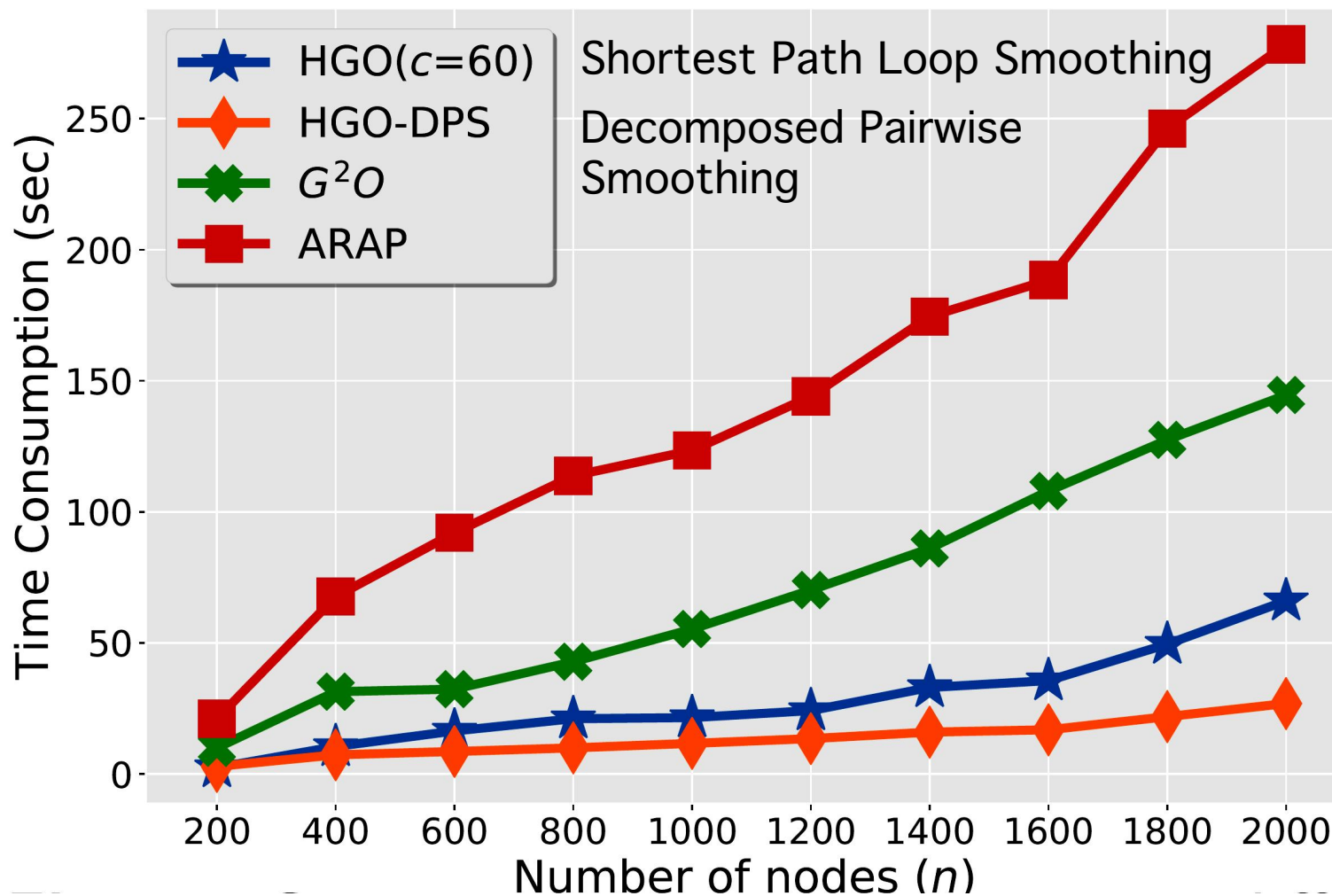


(a) $\sigma = 10\%$



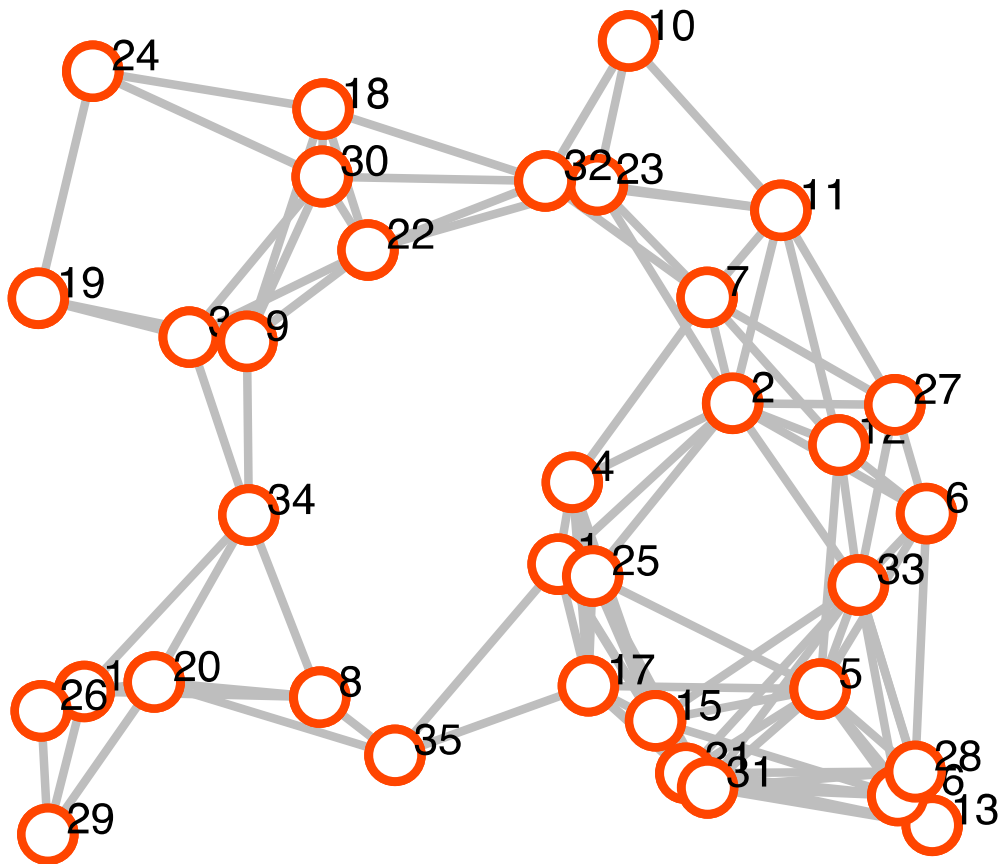
(b) $\sigma = 30\%$

HGO: 计算效率

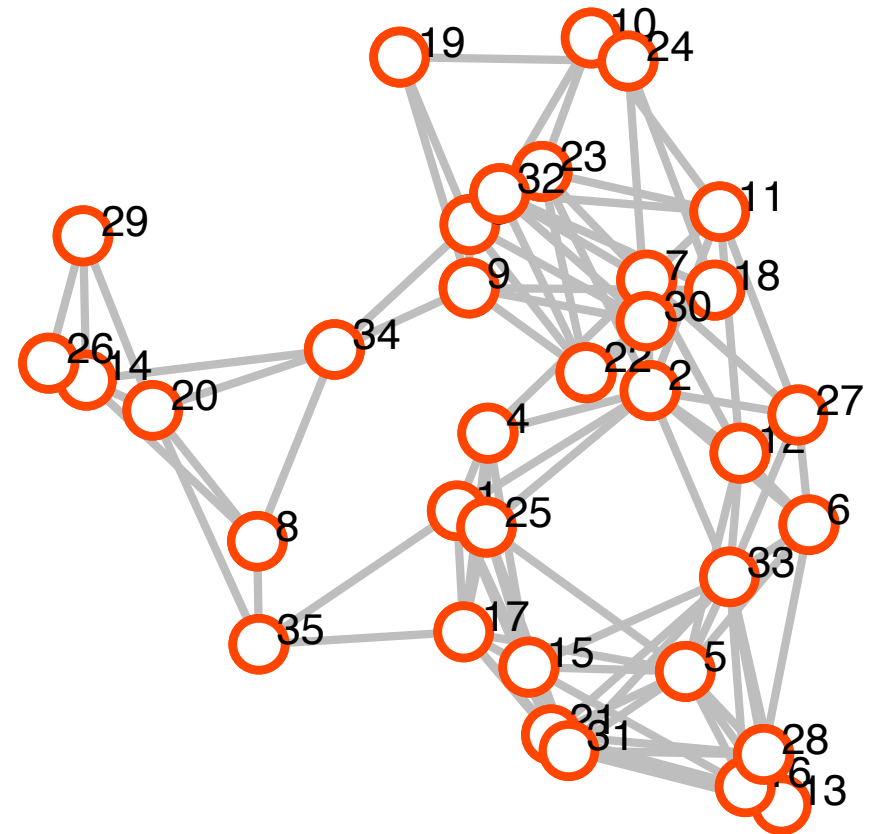


Haodi Ping, Yongcai Wang, Deying Li, [HGO: Hierarchical Graph Optimization for Accurate, Efficient, and Robust Network Localization](#). [ICCCN 2020](#): 1-9

图优化二： 隐藏边的推断与利用



(a) Ground truth of network formation

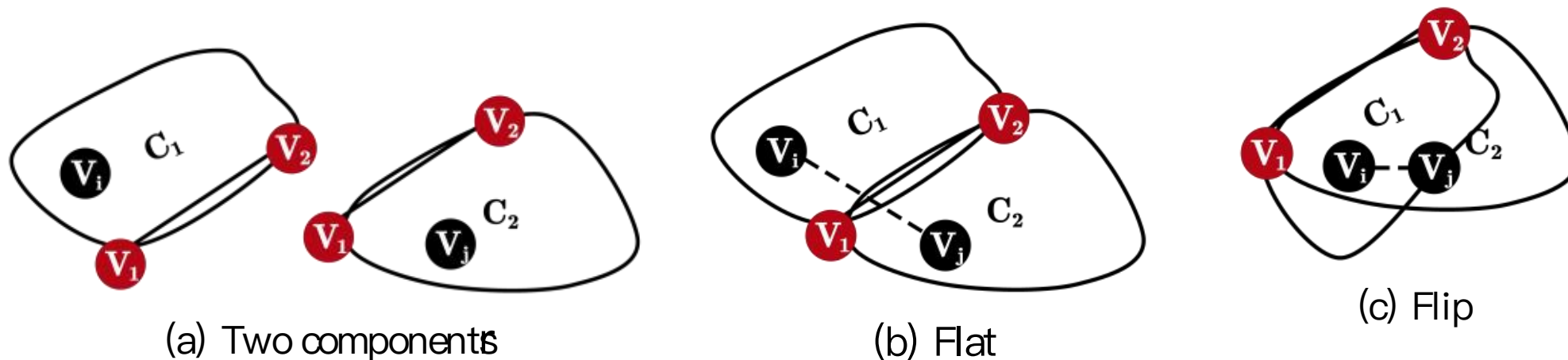


(b) Network formation calculated by G2O [6]

稀疏图的结构计算结果会与Ground Truth有极大差异

基于假设检验的稀疏图优化方法

- 冗余刚性子图仅有限个可能的实现结构
- 连接冗余刚性子图的边，仅有限个可能的长度



Lengths of the UIE are calculated by stitching the component realizations in two different ways, i.e., flat stitching and flipping stitching.

基于假设检验的稀疏图优化方法

$$X^* = \arg \min \sum_{(i,j) \in E} (\|x_i - x_j\| - d_{ij})^2 +$$

$$\sum_{\widehat{(i,j)} \in U} \sum_{G_l \in L_{ij}} \sum_{k=1}^{n_l} \omega_k^l (\|x_i - x_j\| - \hat{d}_{ij}^k)^2$$

图优化中添加假设检验边残差项

$$s.t. \begin{cases} \sum_{k=1}^{n_l} \omega_k^l = 1 \\ \omega_k^l = 0 \text{ or } 1 \end{cases} \quad \forall \widehat{(i,j)} \in U, \forall G_l \in L_{ij}, \forall k = 1, \dots, n_l$$

将混合整数规划转换为可导的

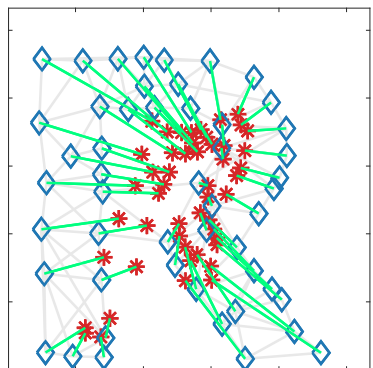
$$X^*, S^* = \arg \min \sum_{(i,j) \in E + U_c} \left\| \hat{d}_{ij} - \tilde{d}_{ij} \right\|_{\Omega_{ij}}^2 +$$

$$\Psi^{sigmoid}(s_{ij}) = sig(s_{ij}) = \frac{1}{1 + e^{-s_{ij}}}$$

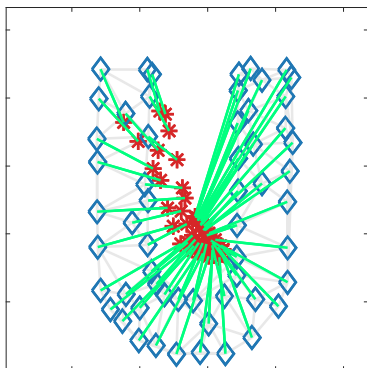
$$sig'(s_{ij}) = sig(s_{ij}) \cdot (1 - sig(s_{ij}))$$

$$\sum_{\widehat{(i,j)} \in U} \sum_{l \in L} \sum_{k=1}^{n_l} \Psi^k(s_{ij}^l) \left\| \hat{d}_{ij}^k - \tilde{d}_{ij} \right\|_{\Lambda_{ij}}^2$$

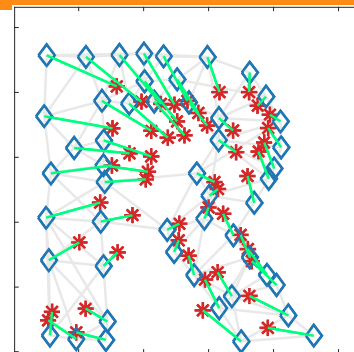
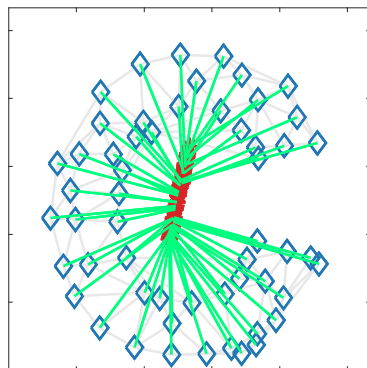
显著提高了稀疏图结构计算准确性



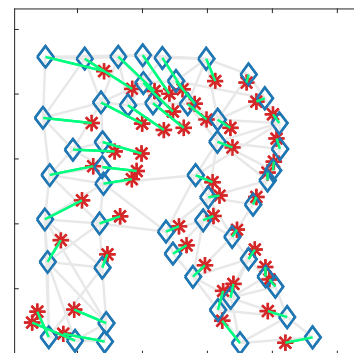
(a) Error of G2O [6]



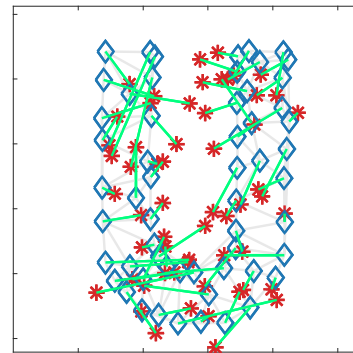
(b) Error of ARAP [11]



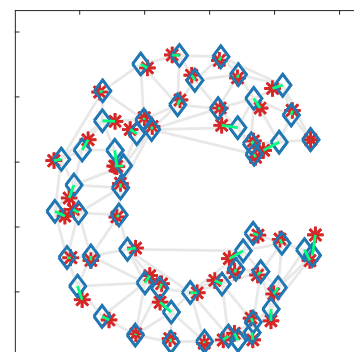
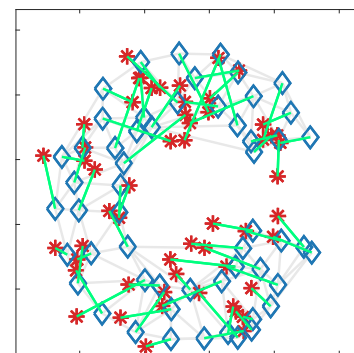
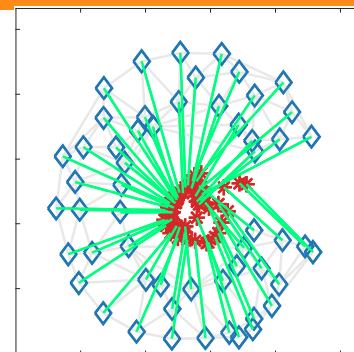
(c) Error of WCS [10]



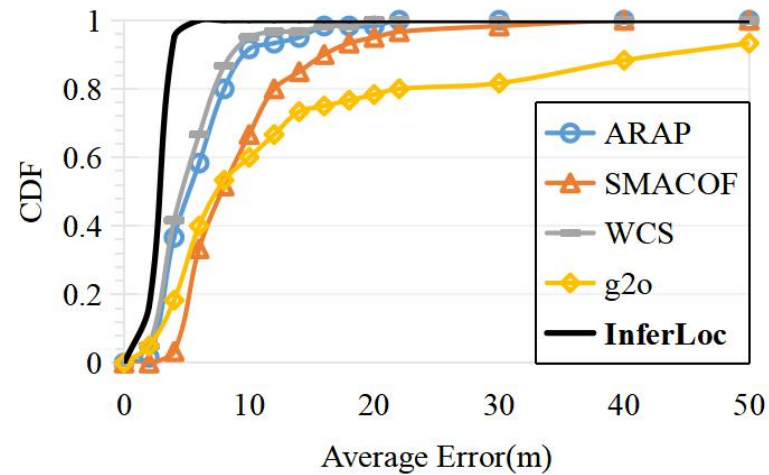
(d) Error of Ping et al. [18]



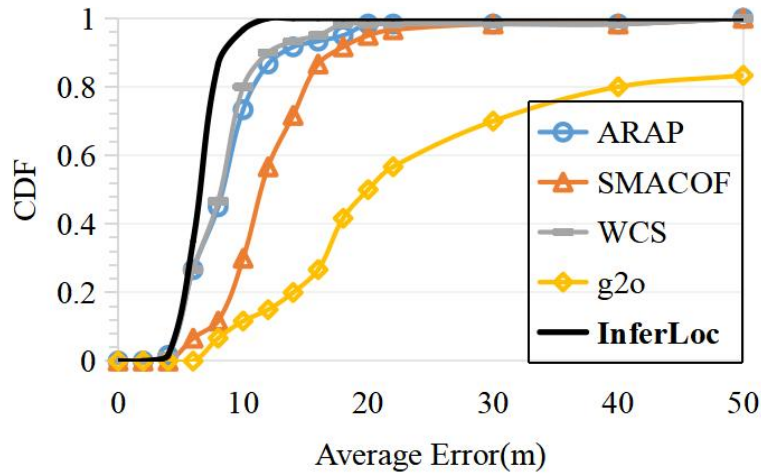
(e) Error of InferLoc



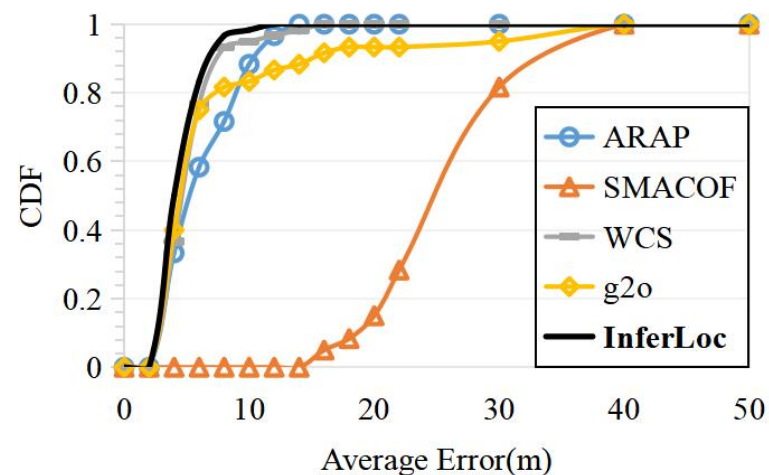
实验结果



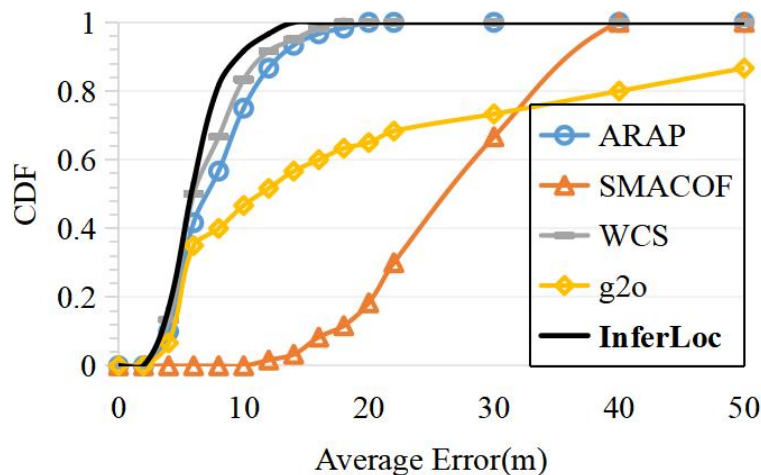
(a) $\sigma = 3, r = 16$



(b) $\sigma = 5, r = 16$



(c) $\sigma = 3, r = 20$

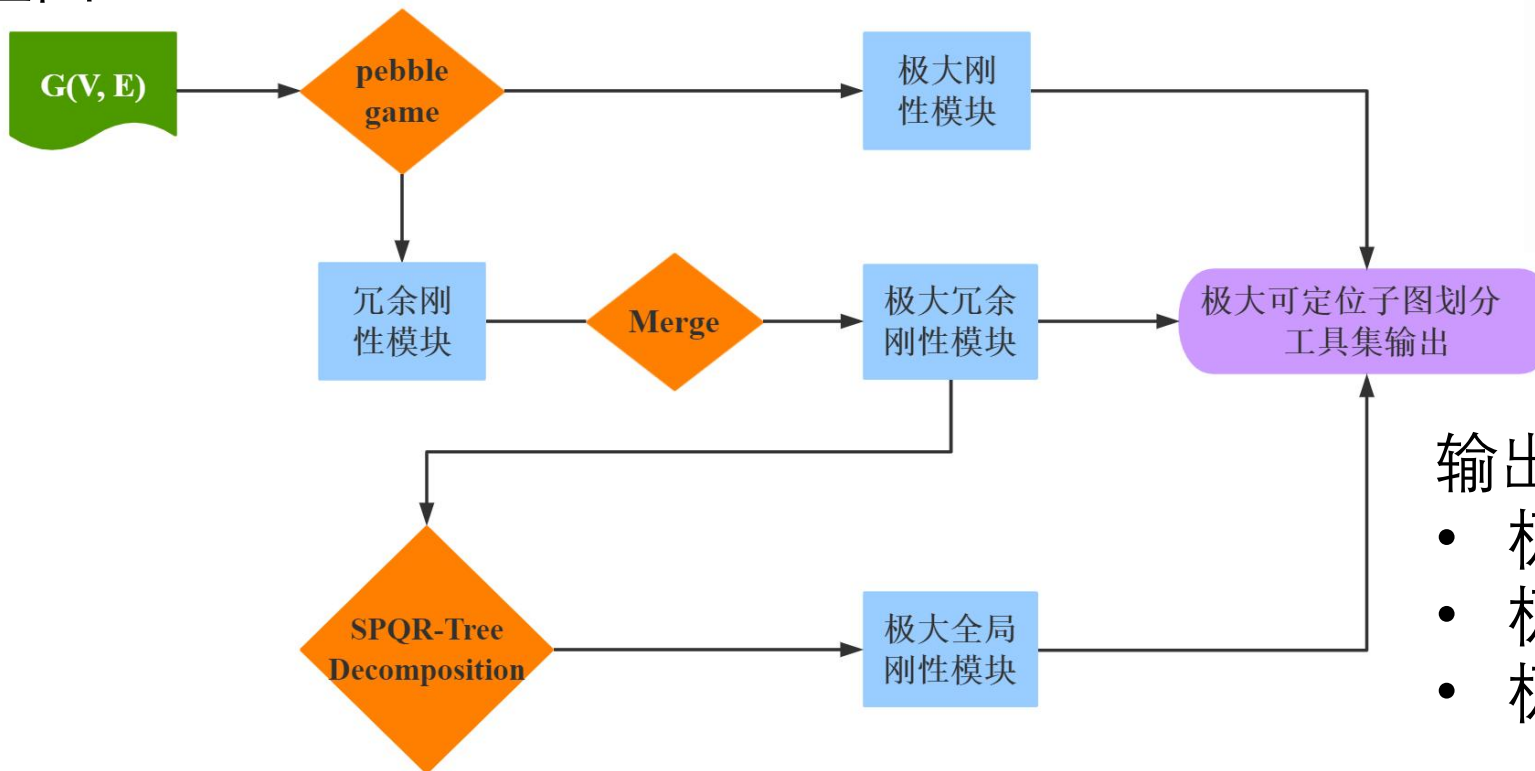


(d) $\sigma = 5, r = 20$

图优化的准确性显著高于现有的SOTA方法

三：稠密子图划分问题 (GPART)

输入2D测量图



- 输出所有
- 极大刚性子图
 - 极大冗余刚性子图
 - 极大全局刚性子图

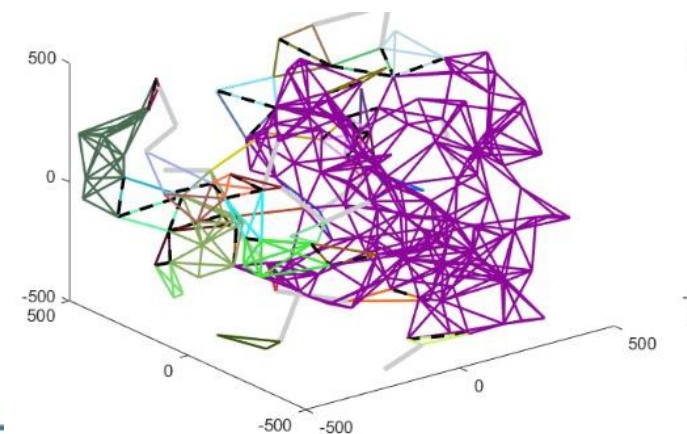
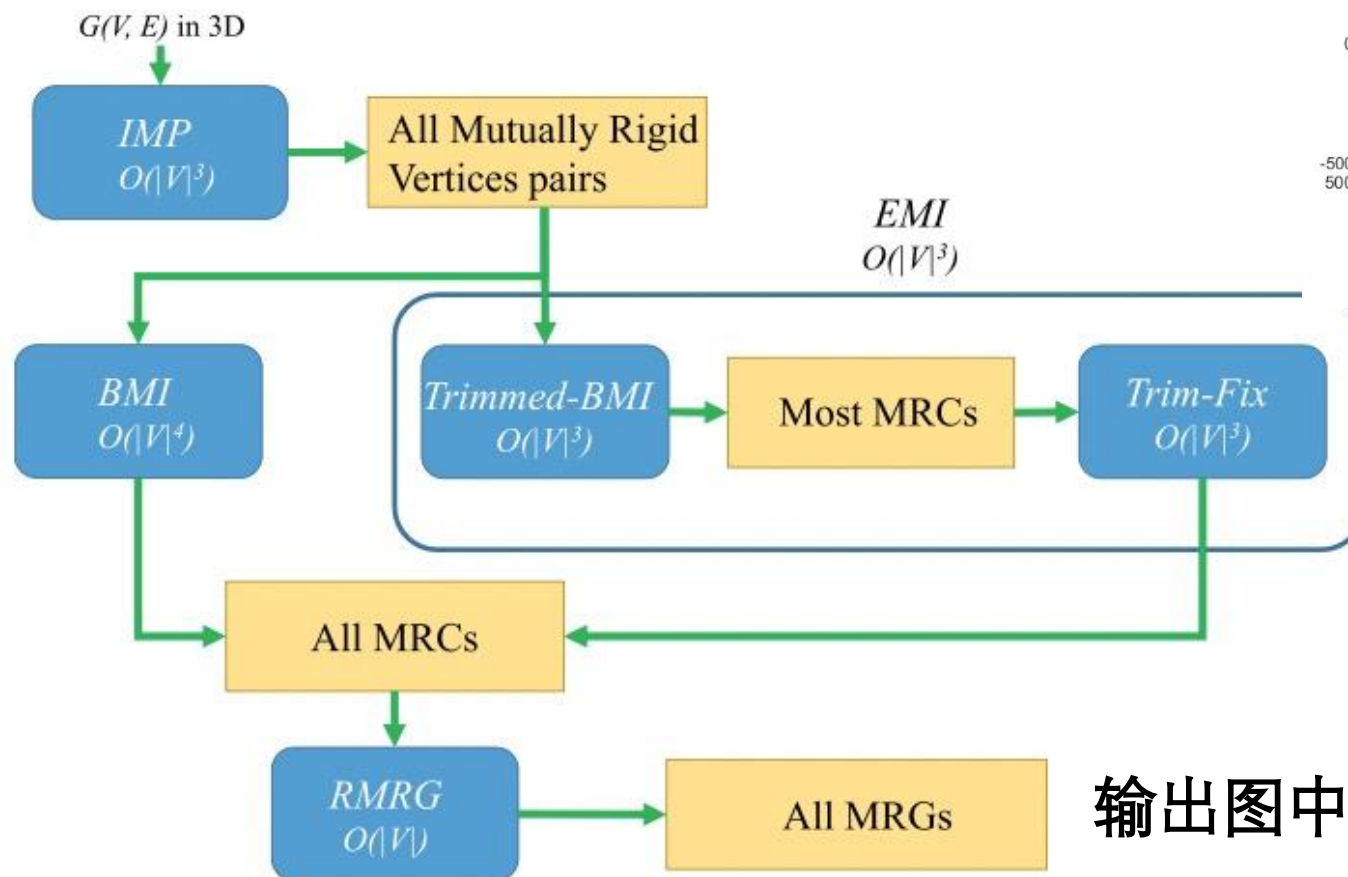
Yu Zhang, Qinhan Wei, **Yongcai Wang**, Haodi Ping, Deying Li, [GPART: Partitioning Maximal Redundant Rigid and Maximal Global Rigid Components in Generic Distance Graphs](#), TOSN, 2023



<https://github.com/inlab-group/gpart>

四：3D图中的极大刚性子图快速划分算法（EMI）

输入3D测量图



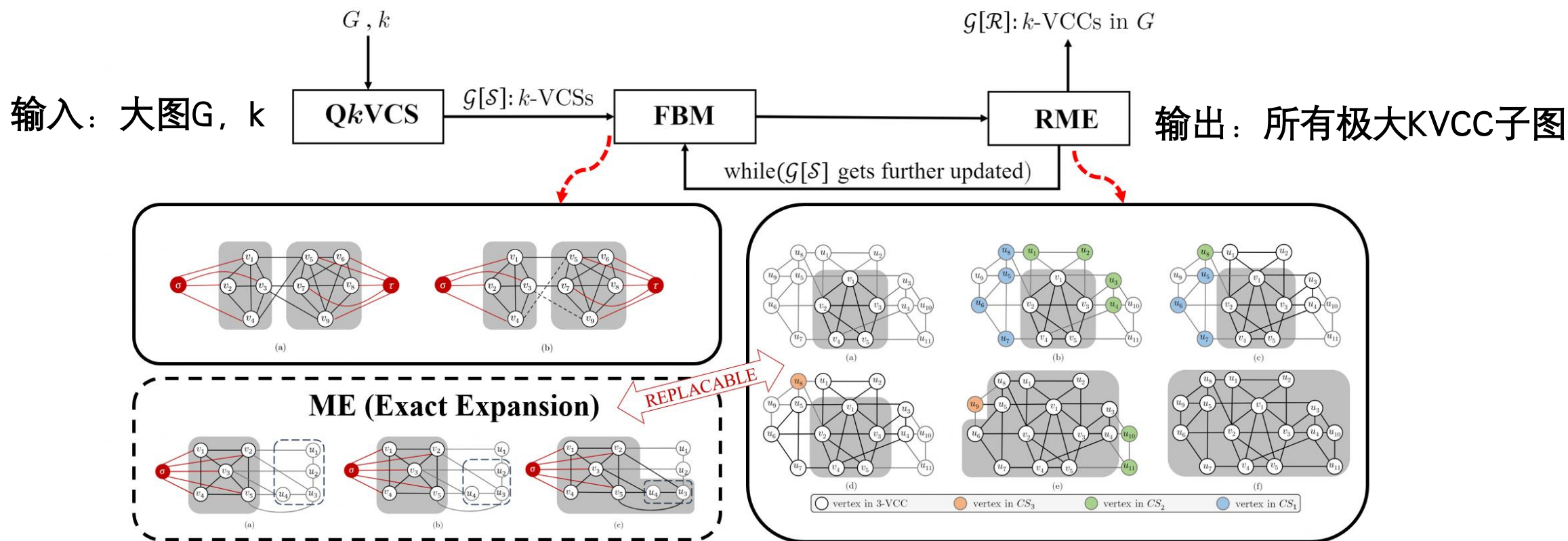
输出图中所有极大刚性子图

Qinhan Wei, Yongcai Wang*, Deying Li: [EMI: An Efficient Algorithm for Identifying Maximal Rigid Clusters in 3D Generic Graphs](#). *IEEE/ACM Transactions on Networking* 32(1), 460-474, 2024,

Code

<https://github.com/fdwqh/EMI-algorithm>

五：一种自底向上的快速极大K-VCC子图枚举算法 (RIPPLE)



Haoyu Liu, **Yongcai Wang***, Xiaojia Xu, Deying Li: [Bottom-up k-Vertex Connected Component Enumeration by Multiple Extension](#), ICDE 2024, Utrecht Netherlands, May 13-17, 2024

Code

<https://github.com/Elssky/RIPPLE>

总结

- 多智能体**协同SLAM**问题 (CoISLAM)
- 多智能体**协同感知的迭代匹配与位姿校准**问题 (RoCo)
- 后端图优化的**分层鲁棒图优化**方法 (HGO)
- 稀疏图优化中的**隐藏信息推断与利用**方法 (InferLoc)
- 2D测量图的**稠密子图划分**问题 (GPART)
- 3D测量图的**极大刚性子图划分**问题 (EMI)
- 一种自底向上的**快速极大K-VCC枚举**算法 (RIPPLE)

谢谢, Q&A

ycw@ruc.edu.cn

<https://yongcaiwang.github.io>

18910215881